

تحلیل فضایی توزیع زمانی و مکانی آغاز و خاتمه وقوع یخندهان در استان یزد

مهران فاطمی^۱

چکیده

کاهش دمای هوا به صفر درجه سانتیگراد و کمتر از آن را یخندهان گویند که در صورت رطوبت، پوششی از بخش روی سطوح اجسام تشکیل می‌شود. یخندهان یکی از پدیده‌های اقلیمی است که قابلیت فراوانی در ایجاد خسارت در بخش‌های مختلف محیط زیست به ویژه کشاورزی دارد. این تحقیق با هدف بررسی توزیع زمانی و مکانی آغاز و خاتمه یخندهان در استان یزد طی دوره ۱۷ ساله آماری (۱۳۹۷-۱۳۸۰) انجام گردیده است. بدین منظور از داده‌های آماری بلند مدت دمای کمینه روزانه ۱۰ ایستگاه سینوپتیک استفاده شده است. جهت تعیین زمان آغاز و خاتمه یخندهان، روزها به روز شمار ژولیوسی تبدیل و از نرم افزار SPSS و ArcGIS برای تعیین احتمالات و نقشه‌های آغاز و خاتمه یخندهان و فراوانی وقوع یخندهان استفاده گردید.

نتایج نشان داد که در نواحی جنوبی و جنوب شرقی شامل ایستگاه گاریزات، یخندهان نسبت به نواحی شمالی و شمال شرقی زودتر آغاز شده و دیرتر پایان می‌پذیرد. طول دوره یخندهان از شمال به جنوب افزایش یافته که باعث محدود شدن طول دوره رشد گیاهان در این نواحی می‌شود. فراوانی وقوع یخندهان در نواحی جنوب شرقی بیشتر می‌باشد.

واژگان کلیدی: پهنه‌بندی، تاریخ آغاز یخندهان، تاریخ خاتمه یخندهان، فراوانی وقوع یخندهان.

مقدمه:

یکی از عوامل آب و هوایی که در طی دوره سرد سال در بیشتر مناطق کشور بروز می‌کند، پدیده سرما و یخندهان است. یخندهان با پایین آمدن دما و نزول آن به آستانه بحرانی مشخص، شروع می‌شود و با تاثیراتی که در سطح زمین ایجاد می‌کند، زندگی انسان‌ها و همچنین فعالیت‌های عمرانی و بازدهی محصولات باعی را تحت تاثیر قرار می‌دهد. این عارضه بر درختان میوه در فصل زمستان یا اوایل بهار حادث می‌شود و خسارات زیادی بر جای می‌گذارد. (اکبرپور، ۱۳۸۴: ۴۴). پدیده یخندهان نه تنها حیات طبیعی تمامی موجودات زنده را با خطر مواجه می‌نماید، بلکه نقش مهم و تعیین کننده‌ای در مسائل اقتصادی، زیست-محیطی و عمرانی مانند جاده سازی، سد سازی و پل سازی دارد. سرمایزدگی و یخندهان در مراحل مختلف رویش برای محصولات کشاورزی و باعی بسیار مهم است. چرا که در صورت حادث شدن، به محدودیت تولید منجر می‌شود (هژرپور و علیجانی، ۱۳۸۶: ۹۰-۸۹). یخندهان عبارت است از دماهای صفر و یا کمتر از آن. همچنین از نظر فنی برای کشاورزی، رویداد تشکیل کریستال‌های نازک بخش روی سطوحی که درجه حرارت آنها زیر صفر، درجه حرارت لایه هوای بالای سطوح آن به نقطه شنبم رسیده باشد. از نظره‌هاشناسی کشاورزی نیز وقوع یخندهان، تغییر درجه حرارت‌های پایین می‌باشد که باعث آسیب به بافت‌های گیاهی می‌شود. یخندهان‌ها را بر مبنای شدت، تداوم و زمان وقوع نیزی می‌توان تقسیم بندی نمود. منظور از تقسیم بر مبنای شدت، قدرت مؤلفه‌های توزیع انرژی می‌باشد که معمولاً بر اساس دمای میانگین، حداقل میانگین صفر و زیر صفر و پایین‌ترین دمای حداقل‌ها اندازه‌گیری می‌شود (حجازی‌زاده و مقیمی، ۱۳۸۱). تاریخ‌های آغاز و پایان دوره یخندهان از نظر کشاورزی دارای اهمیت می‌باشد. اولین یخندهانی که در ابتدای دوره یخندهان رخ می‌دهد یخندهان زودرس پاییزه نام دارد. در پاییز



یخندان زودتر از زمان نرمال به شاخه‌هایی که فعالانه در حال رشد هستند صدمه می‌رساند. آخرین یخندانی که در انتهای دوره یخندان رخ می‌دهد یخندان دیررس بهاره نامیده می‌شود. درختان میوه از زمان باز شدن جوانه‌های گل، در خلال گل دهی و تا مرحله میوه کوچک سبز بطور فزاینده‌ای نسبت به صدمه سرما حساس می‌باشند (زاپل عباسی، ۱۳۸۵: ۱۱-۱). جهت به حداقل رساندن خسارت‌های یخندان در نواحی مستعد، آگاهی و دانش کاملی از فراوانی، تداوم و زمان رخداد یخندان‌ها مورد نیاز است. برای ارزیابی ریسک یخندان از داده‌های ثبت شده دمای حداقل هوا در ایستگاه‌های هواشناسی استفاده می‌گردد از دیدگاه هواشناسی یخندان زمانی رخ می‌دهد که دمای سطح زمین و پوشش گیاهی روی آن به کمتر از صفر درجه سانتی‌گراد کاهش یابد. (بداق جمالی، ۱۳۸۴). یخندان براساس وضعیت جوی و عوامل دیگر بوجود آورنده آن به دو صورت فرارفتی و تابشی تقسیم می‌شود. یخندان فرارفتی با ورود توده هوای سرد با دمای زیر صفر به مناطقی که قبل از هوا گرم در آنجا استقرار داشته حادث می‌شود اما یخندان تابشی بر اثر تابش شبانه زمین در شب‌های صاف و بدون باد رخ می‌دهد (Bordi et al., 2001).

منطقه یزد علیرغم داشتن اقلیم گرم، به جهت موقعیت بیابانی، در دوره سرد سال از سرماهای بسیار شدید متضرر می‌گردد. این سرماهای زیان‌آور عمده‌تا در اوایل و انتهای دوره سرد رخ می‌دهد. برای این که در طول زمستان گیاهان به سرما عادت کرده‌اند و از طرف دیگر در این دوره گیاه فعالیت ندارد. اما در ابتدا و انتهای دوره سرد به لحاظ هم‌زمانی با برداشت و یا کاشت محصولات، میزان خسارات سنگین می‌باشد، برای مثال سرمای بهار ۱۳۷۴ سبب خشک شدن درختان گردو و بادام منطقه تفت و سایر نواحی کوهستانی یزد گردید (طالبی، ۱۳۸۵: ۸۹). در صورتیکه بتوان پهنه‌های همگن از لحاظ یخندان و تاریخ شروع و پایان یخندان را بدست آورده، می‌توان با اتخاذ روش‌های مناسب برای مقابله با این پدیده و کاهش اثرات زیانبار اقدام کرد. لذا هدف این تحقیق پهنه‌بندی توزیع زمانی و مکانی یخندان، آغاز و خاتمه یخندان در استان یزد می‌باشد.

بررسی وقوع یخندان‌ها همواره مورد توجه محققان و اقلیم‌شناسان خارجی و داخلی قرار گرفته است. تاریخ وقوع یخندان‌های زودرس پاییزه در ۹ مکان درمنطقه گورنجسکا در اسلوونی در طول سال‌های ۱۹۹۷ و ۱۹۸۷ مورد مطالعه قرار گرفت. با این تحقیق تاریخ متوسط اولین یخندان به دست آمد. در این مطالعه رابطه تاریخ وقوع اولین یخندان با ارتفاع محل نیز مورد بررسی قرار گرفته است (Kajfez, 1989). و گا^۱ و همکاران (۱۹۹۴) تجزیه و تحلیل یخندان‌ها در نواحی اقلیمی جنوب ایالات متحده با استفاده از دوره آماری ۳۰ ساله در ۳۴۲ ایستگاه یخندان‌های زودرس پاییزه و دیررس بهاره برای ۱۰ درصد، ۳۰ درصد، ۵۰ درصد و در سطح ۹۰ درصد برای هر ایستگاه محاسبه کردند. در هر سطحی چهار آستانه درجه حرارت ۳۶ درجه، ۳۲ درجه، ۲۸ درجه و ۲۶ درجه فارنهایت محاسبه و بررسی شده است. نقشه‌های نواحی اقلیمی جنوب ایالات متحده گسترش الگوهای یخندان در هر آستانه درجه حرارت برای ۱۰ درصد، ۵۰ درصد و سطح‌های ۹۰ درصد را نشان می‌دهد. در پاییز، نمودار زمان وقوع بیانگر احتمال یخندان بعد از زمان وقوع است. همچنین در بهار، نمودار زمان وقوع نشان دهنده احتمال رخداد یخندان قبل از زمان وقوع است. فریچ^۲ و همکاران (۲۰۰۲) شواهدی مبنی بر طولانی‌تر شدن فصل رشد و کاهش تعداد روزهای یخندان را برای بسیاری از نواحی عرض‌های میانی و بالای نیمکره شمالی در طی ۵۰ سال اخیر ارائه داده‌اند. مادلین و بلتراندو^۳ (۲۰۰۵) پراکندگی مکانی یخندان‌های دیررس بهاره و عوامل تاثیرگذار بر روی آن را در ناحیه تاکداری شمال فرانسه مورد مطالعه قرار دادند. عوامل تاثیرگذار بر پراکندگی مکانی یخندان طول و عرض جغرافیایی، عوامل محلی و توپوگرافی بدست آورند و به این نتیجه رسیدند که ارتفاع بهترین عامل پیش‌بینی کننده ویژگی‌های یخندان است. ژاآو^۴ و همکاران (۲۰۱۲) به تحلیل منطقه‌ای نمایه‌های فرین دمای حوضه رودخانه‌های چین طی دوره ۱۹۶۰-۲۰۰۹ پرداختند. نتایج بررسی نشان داد که در سراسر حوضه نمایه‌های فرین سرد روزهای یخندان، روزهای سرد، شب‌های سرد، دوام امواج سرما و

¹ Vega

² Frich

³ Madelin & Beltrando

⁴ Zhao



دامنه دمای شبانه روزی روند منفی معناداری را نشان می‌دهند. داشخو^۱ و همکاران (۱۰۰۷: ۲۰۱۵) نشان دادند در مغلوستان یک افزایش ۱۵ روزه در تعداد روزهای یخ‌بندان در ۵۰ سال گذشته وجود دارد. کیم و بیون^۲ (۲۰۱۶) با بکارگیری داده‌های تاریخی و جدید تغییر پذیری زماں - مکانی یخ‌بندان‌های دیررس در شبه جزیره کره و ارتباط آن با گردش‌های جوی را بررسی کردند. تاریخ آغاز داده‌های جدید از ۱۹۰۴ بوده است. ایشان نشان دادند که بیشترین فراوانی یخ‌بندان‌های دیررس در سال ۲۰۱۳ بوده است. یخ‌بندان‌های بهاره در کره به طور میانگین بین ۱۷ مارس در واندو^۳ و ۱۷ می در دایگوالیونگ^۴ رخداده است؛ همچنین بین ارتفاع و عرض جغرافیایی با یخ‌بندان‌های زودرس همبستگی مثبت وجود داشته است. ویتاسی^۵ و همکاران (۲۰۱۸) خطر یخ‌بندان‌های بهاره بر دختان در ۵۰ نقطه یخ‌بندان‌های زودرس را بررسی کردند. ایشان با بررسی چهارگونه درختی سیب، گیلاس، صنوبر و راش نشان داد؛ که از سال ۱۹۷۵ تا ۲۰۱۶ تا ۲۰۱۶ خطر سویس را بررسی کردند. ایشان با بررسی چهارگونه درختی سیب، گیلاس، صنوبر و راش نشان داد؛ که از سال ۱۹۷۵ تا ۲۰۱۶ تا ۲۰۱۶ خطر یخ‌بندان‌های دیررس برای درختانی که در ارتفاعات بیش از ۸۰۰ متر قرار دارند افزایش داشته ولی در ارتفاعات پایین تر این خطر تغییری نکرده است. به باور ایشان دلیل این گوناگونی رخداد یخ‌بندان بهاره در تاریخ‌های متفاوت، در ارتفاعات پایین و بالاتر است. تامزیک^۶ و همکاران (۲۰۱۹) به بررسی وقوع و زمینه یخ‌بندان شدید و بسیار شدید در بهار و پاییز با استفاده از دمای حداقل صفر و زیر صفر در اروپای مرکزی پرداختند. تجزیه و تحلیل فضایی نشان داد که تعداد روزهای یخ‌بندان در بهار و پاییز از غرب به شرق اروپای مرکزی افزایش یافته است. پنجه‌لی زاده (۱۳۸۴) به تحلیل آماری و سینوپتیکی یخ‌بندان‌های فراگیر شهر پرداخت و به این نتیجه رسید که اکثر یخ‌بندان‌های فراگیر از نوع فرارفتی و ترکیبی می‌باشند. ضیایی و همکاران (۱۳۸۵) در استان فارس بر اساس داده‌های ۲۵ ایستگاه موجود اقدام به تهیه اطلس احتمال وقوع کمینه دمای استان نمودند، آنها نشان دادند که هرچه عرض جغرافیایی ایستگاه کمتر شود، اولین یخ‌بندان‌ها دیرتر و آخرین یخ‌بندان‌ها زودتر اتفاق می‌افتد. حجازی زاده و ناصرزاده (۱۳۸۶) در تجزیه و تحلیل یخ‌بندان در استان لرستان به این نتیجه رسیدند که در ایستگاه‌ها بین آغاز و خاتمه یخ‌بندان‌ها روابط معنی داری وجود دارد، یعنی؛ هرچه یخ‌بندان زودتر شروع شود، دیرتر هم خاتمه می‌یابد و هر چه یخ‌بندان دیرتر شروع شود زودتر هم خاتمه می‌یابد. امیدوار و ابراهیمی (۱۳۸۸) با پهنه‌بندی شدت یخ‌بندان در استان یزد در طی دوره آماری ۱۶ ساله (۱۳۷۱-۱۳۸۶) به این نتیجه رسیدند که تمام ایستگاه‌های استان در طول سال یخ‌بندان ضعیف و متوسط و به غیر از شرق استان یعنی ایستگاه طبس، بقیه قسمت‌های منطقه مورد مطالعه در طول سال یخ‌بندان شدید را تجربه می‌کنند. تاریخ عبور دماهای صفر و کمتر از آن نیز نشان می‌دهد، به طور متوسط و به تفکیک ایستگاه‌ها گذر دمای صفر درجه در استان یزد از اوایل آبان تا اواسط آذر، گذر ۲-۲ درجه، از اوخر آبان تا اوایل دی و گذر ۵-۵ درجه سلسیوس، از اواسط آذر تا اواسط دی رخ می‌دهد. مظفری (۱۳۹۲) در بررسی روند تاریخ آغاز و خاتمه آستانه‌های دمای صفر و پنج درجه سانتیگراد در ایران به این نتیجه رسیدند که تاریخ آغاز دمای ۵ درجه سانتیگراد در ۱۱ ایستگاه دارای روند مثبت بوده است و در مورد خاتمه دمای ۵ درجه سانتیگراد در ۱۰ ایستگاه روند منفی وجود داشته است. تاریخ آغاز دمای صفر درجه سانتیگراد در ۱۰ ایستگاه دارای روند مثبت و خاتمه دمای صفر درجه سانتیگراد در ۶ ایستگاه دارای روند منفی بوده است. آزمون گرافیکی من کنдал نیز نشان داد که روندها در کشور بصورت آرام، ناگهانی و هریک از آنها نیز به صورت صعودی و یا نزولی است. لشکری و کیخسروی (۱۳۹۶) به بررسی روند تغییرات دمایی و پهنه-بندي آغاز و پایان یخ‌بندان شهر تهران پرداختند. نتایج نشان داد که با احتمال ۵۰ درصد احتمال وقوع اولین یخ‌بندان متوسط در ایستگاه‌های امین آباد و شمال تهران آدرماه و در ایستگاه‌های مهرآباد، دوشان تپه و ژئوفیزیک دیماه و در ایستگاه چیتگر بهمن ماه می‌باشد. تاریخ وقوع اولین یخ‌بندان شدید در سطح احتمال ۵۰ درصد در کلیه ایستگاه‌های ماه، ولی تاریخ وقوع آخرین یخ‌بندان در ایستگاه‌ها در ماه‌های بهمن و اسفند مشاهده می‌شود. در حالیکه بررسی الگوهای تغییرپذیری زمانی و مکانی پارامترهای دمایی نشان داد که پهنه

¹ Dashkhuu² Kim & Byun³ Wando⁴ Daegwallyeong⁵ Vitasse⁶ Tomczyk



یخندان، الگوی گسترش غربی-شرقی دارد. بنابراین خط برف و یخندان در امتداد خطوط تراز پیشروی و پسروی می‌کند. فلاج قاله‌ری و همکاران (۱۳۹۷) با پهنه‌بندی توزیع زمانی و مکانی آغاز، خاتمه و فراوانی وقوع یخندان در استان خراسان رضوی نشان دادند که در نواحی شمالی، یخندان نسبت به نواحی جنوبی و غربی زودتر آغاز شده و دیرتر پایان می‌پذیرد. طول دوره یخندان در سطح استان از جنوب به شمال افزایش یافته که باعث محدود شدن طول دوره رشد گیاهان در این نواحی می‌شود. فراوانی وقوع یخندان در نواحی شمالی نسبت به نواحی جنوبی و غربی بیشتر می‌باشد. رضایی بنفسه درق و همکاران (۱۳۹۸) به بررسی تغییرات زمانی و مکانی وقوع یخندان‌ها و سرماهای زودرس پاییزه و دیررس بهاره در شمال شرق کشور با استفاده از برونداد مدل جهانی HadCM3 تحت سناریوهای A2 و B1 و روش ریزمقیاس گردانی آماری LARS-WG در دوره آماری ۲۰۴۶-۲۰۶۵ نسبت به دوره پایه (۱۹۸۶-۲۰۱۵) پرداختند. نتایج نشان داد که دمای کمینه در دوره آتی نسبت به دوره پایه بین $1/2$ درجه سلسیوس افزایش خواهد یافت بر این اساس در بخش اعظم منطقه مورد مطالعه یخندان‌های زودرس پاییزه یک الی دو هفته دیرتر شروع می‌شوند و یخندان‌های دیررس بهاره نیز بین ۹ تا ۱۸ روز زودتر به پایان می‌رسند. همچنین سرماهای زودرس پاییزه حدود ۷ تا ۱۳ روز دیرتر شروع و سرماهای دیررس بهاره نیز حدود ۹ تا ۱۳ روز زودتر خاتمه می‌یابند.

روش تحقیق:

در مطالعه حاضر از آمار دمای حداقل روزانه ۱۰ ایستگاه هواشناسی طی دوره ۱۷ ساله (۱۳۹۷-۱۳۸۰) استفاده شده است. پراکندگی و مشخصات ایستگاه‌های مورد استفاده در این مطالعه در شکل و جدول (۱) آورده شده است. برای تحلیل فراوانی وقوع یخندان‌ها نیاز بود که برای هر سال، تاریخ اولین روز یخندان پاییزه و آخرین روز یخندان بهاره به دست آید. آستانه مورد نظر در این تحقیق دمای صفر و کمتر از آن است. بنابراین برای هرسال آماری در آستانه مورد نظر تاریخ اولین و آخرین روز یخندان استخراج گردید. بعد از اینکه تاریخ‌های اولین و آخرین روز یخندان به دست آمد، به منظور تبدیل داده‌ها به اعداد قابل پردازش بر اساس شماره روز ژولیوسی به هر یک از تاریخ‌ها عددی اختصاص داده شده است. بر این اساس روز اول مهر شماره ۱ و روز آخر شهریور در سال‌های زراعی معمولی ۳۶۵ در نظر گرفته شده و بر این اساس روز شماره اولین یخندان (سرماهی زودرس پاییزه) و آخرین یخندان (سرماهی دیررس بهاره) طی هر سال زراعی به تفکیک ایستگاه‌ها مشخص گردید. روزهایی که دمای آن‌ها کمتر از صفر درجه سلسیوس بود به منزله روز یخندان استخراج گردید. فاصله بین اولین و آخرین رخداد دمای حداقل آستانه به عنوان فصل یخندان در نظر گرفته شد. یخندان در ۵ آستانه دمایی گردید. دمای بین صفر تا $-1/9$ درجه سانتی گراد، ملایم (دمای بین $-1/9$ تا $-3/9$ درجه سانتی گراد)، متوسط (دمای -4 تا $-5/9$ درجه سانتی گراد)، شدید (دمای -6 تا $-9/9$ درجه سانتی گراد) و خیلی شدید (دمای -10 - درجه سانتی گراد و کمتر) مورد مطالعه قرار گرفت (اقتباس از قاله‌ری، ۱۳۹۷: ۱۶). برای محاسبه احتمال وقوع آغاز و خاتمه یخندان در هر یک از ایستگاه‌ها، لازم بود که سری زمانی داده‌ها به توزیع آماری مختلف برازش داده شود تا بهترین توزیع آماری جهت محاسبه تاریخ‌های آغاز و خاتمه یخندان در سطوح احتمالاتی مختلف بدست آید. بدین منظور سری‌های زمانی مربوط به ایستگاه‌ها با استفاده از نرم افزار SMADA بررسی شد. بر اساس خطای معیار به دست آمده، بهترین توزیع آماری انتخاب گردید. نتایج نشان داد اغلب سری‌های آماری انتخاب شده دارای توزیع نرمال می‌باشند. با استفاده از نرم افزار SPSS رابطه رگرسیونی بین ارتفاع و تاریخ‌های آغاز و خاتمه یخندان بدست آورده شد. بدین منظور از مدل رگرسیون خطی ساده که یک روش ریاضی برای بیان آماری بین دو متغیر است استفاده گردید. از نرم افزار ArcGIS برای پهنه‌بندی زمان آغاز و خاتمه یخندان و تهیه نقشه‌های فراوانی وقوع یخندان استفاده گردید.



شکل (۱): موقعیت ایستگاه‌های مورد مطالعه

جدول (۱): مشخصات ایستگاه‌های هواشناسی سینوپتیک مورد مطالعه در سطح استان یزد

شماره	نام ایستگاه	ارتفاع از سطح دریا	عرض جغرافیایی	طول جغرافیایی
۱	ابرکوه	۱۵۲۳	۳۱°-۸'	۵۳°-۱۷'
۲	باقق	۹۹۱	۳۱°-۳۶'	۵۵°-۲۶'
۳	مروست	۱۵۴۶	۳۰°-۳'	۵۴°-۱۵'
۴	میبد	۱۱۰۸	۳۲°-۱۳'	۵۳°-۵۸'
۵	مهریز	۱۵۲۰	۳۱°-۳۵'	۵۴°-۲۶'
۶	یزد	۱۲۳۷/۲	۳۱°-۵۴'	۵۴°-۱۷'
۷	گاریزات	۲۱۰۰	۳۱°-۱۸'	۵۴°-۶'
۸	هرات	۱۶۰۰	۳۰°-۰۵'	۵۴°-۰۴'
۹	عقدا	۱۱۵۰	۳۲°-۲۶'	۵۳°-۳۷'
۱۰	رباط پشت بادام	۱۱۸۸	۳۳°-۲'	۵۵°-۳۳'

دوره یخبدان

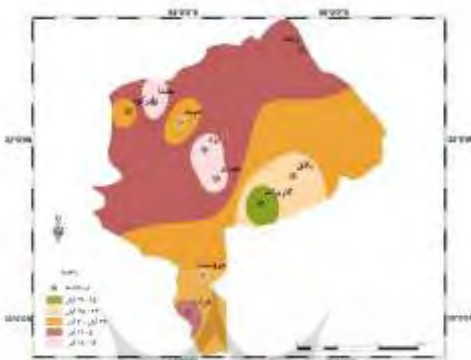
به تعداد روزهای بین میانگین اولین یخبدان پاییزه و آخرین یخبدان بهاره اطلاق می‌شود که دوره اصلی سرماست. به عبارت دیگر، حد فاصل آخرین روز غیریخبدان در پاییز یا اوایل زمستان و آخرین روز یخبدان در اوایل بهار یا اواخر زمستان، دوره یخبدان اطلاق می‌شود (میرمحمدی میبدی، ۱۳۸۲). اما بیان این دوره بر حسب تعداد روز، به این معنی نیست که یخبدان هر روز افتاق می‌افتد و در حقیقت در طول فصل یخبدان احتمال وقوع دماهای زیر صفر درجه وجود دارد. در مقالات مختلف شدت یخبدان‌ها در آستانه‌های دمایی متفاوت بررسی شده است. فراوانی شدت یخبدان در این مقاله طبق نظر فلاح قاله‌ی در ۵ آستانه دمایی بررسی شده است.

بحث و نتیجه‌گیری:

شکل (۲) توزیع مکانی آغاز یخبدان در استان را نشان می‌دهد. با توجه به شکل توزیع مکانی آغاز یخبدان از وضعیت توپوگرافی منطقه تعیین می‌کند و در نواحی جنوبی و جنوب شرقی استان زودتر آغاز می‌شود. در بخش از نواحی جنوبی و جنوب شرقی به دلیل ارتفاع زیاد منطقه و قرار گرفتن در نواحی کوهستانی تاریخ آغاز یخبدان پاییزه زودتر اتفاق می‌افتد مانند ایستگاه گاریزات و از ۱۵ تا ۲۱

آبان رخ می‌دهد. در ایستگاه بافق آغاز یخبندان پاییزه از ۲۲ تا ۲۸ آبان رخ می‌دهد. در ایستگاه‌های مروست، میبد و ابرکوه تاریخ آغاز یخبندان از ۲۹ آبان تا ۴ آذر می‌باشد. تاریخ وقوع یخبندان زودرس پاییزه در ایستگاه‌های هرات و رباط پشت بادام ۵ تا ۱۱ آذر می‌باشد. تاریخ آغاز یخبندان در ایستگاه‌های مهریز، یزد و عقدا از ۱۲-۱۸ آذر می‌باشد. رابطه رگرسیونی بین تاریخ آغاز یخبندان و ارتفاع نشان می‌دهد بین ارتفاع و تاریخ آغاز یخبندان رابطه معنی دار و معکوس وجود دارد.

$$Y = -0.014X + 84.93 \quad R^2=0.51$$



شکل (۲): میانگین زمان آغاز یخبندان دمای صفر درجه

جدول (۲) تاریخ آغاز یخبندان را بر اساس احتمالات مختلف در توزیع نرمال نشان می‌دهد. به عنوان مثال تاریخ آغاز یخبندان در ایستگاه گاریزات با احتمال ۳۰ درصد ۱۲ آبان، با احتمال ۵۰ درصد، ۱۵ آبان، با احتمال ۷۰ درصد، ۱۸ آبان و با احتمال ۹۰ درصد ۲۳ آبان، به عنوان زودترین تاریخ شروع یخبندان پاییزه نشان می‌دهد. و در ایستگاه یزد نیز با احتمال ۳۰ درصد، ۲ آذر اولین یخبندان در ۲ آذر، با احتمال ۵۰ درصد، ۱۳ آذر، با احتمال ۷۰ درصد، ۱۷ آذر و با احتمال ۹۰ درصد در ۳ دی به وقوع می‌پیوندد.

جدول(۲): تاریخ آغاز یخبندان در احتمالات مختلف در ایستگاه‌های مورد مطالعه

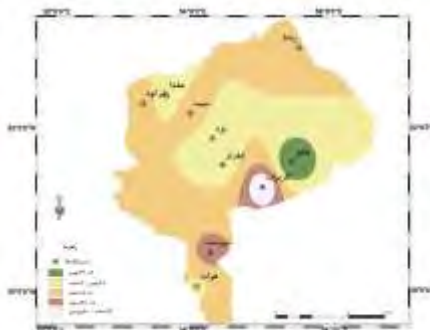
نام منطقه	۳۰ درصد	۵۰ درصد	۷۰ درصد	۹۰ درصد
بیز	۲ آذر	۱۳ آذر	۱۷ آذر	۳ دی
مروست	۲۳ آبان	۲۹ آبان	۱ آذر	۹ آذر
رباط	۲ آذر	۵ آذر	۱۲ آذر	۲ دی
هرات	۳۰ آبان	۱۱ آذر	۱ آذر	۱۷ آذر
میبد	۲۳ آبان	۲۷ آبان	۲۹ آبان	۳ آذر
مهریز	۲ آذر	۱۰ آذر	۲۷ آذر	۳ دی
ابرکوه	۲۷ آبان	۱ آذر	۷ آذر	۱۵ آذر
عقدا	۱ آذر	۹ آذر	۱۴ آذر	۴ دی
گاریز	۱۲ آبان	۱۵ آبان	۱۸ آبان	۲۳ آبان
باقق	۱۴ آبان	۱۷ آبان	۲۶ آبان	۱۲ آذر

شکل (۳) میانگین زمان خاتمه یخبندان را نشان می‌دهد. مطابق این شکل، یخبندان در ایستگاه بافق زودتر خاتمه می‌یابد (۱۸-۲۷ دی). یخبندان در نواحی مرکزی و جنوبی مانند مهریز، یزد، عقدا و هرات در تاریخ ۲۸ بهمن تا ۷ اسفند خاتمه می‌یابند. در ایستگاه‌های میبد، ابرکوه و رباط پشت بادام تاریخ خاتمه یخبندان ۸-۱۸ اسفند می‌باشد. در ایستگاه مروست تاریخ خاتمه یخبندان در ۲۸-۱۸ اسفند رخ داده است. در نواحی مرتفع شامل ایستگاه گاریزات، یخبندان زودتر شروع شده و دیرتر خاتمه می‌یابد، در نتیجه طول فصل یخبندان در



این نواحی طولانی بوده و طول فصل رشد کمتر است (۲۹ اسفند تا ۱۰ فروردین). بررسی رابطه رگرسیونی بین خاتمه یخبندان و ارتفاع نشان داد بین ارتفاع و تاریخ خاتمه یخبندان رابطه معنی دار و مستقیم وجود دارد.

$$Y = 0.033X + 114.16 \quad R^2 = 0.59$$



شکل (۳): میانگین زمان خاتمه یخبندان دمای صفر درجه سانتیگراد

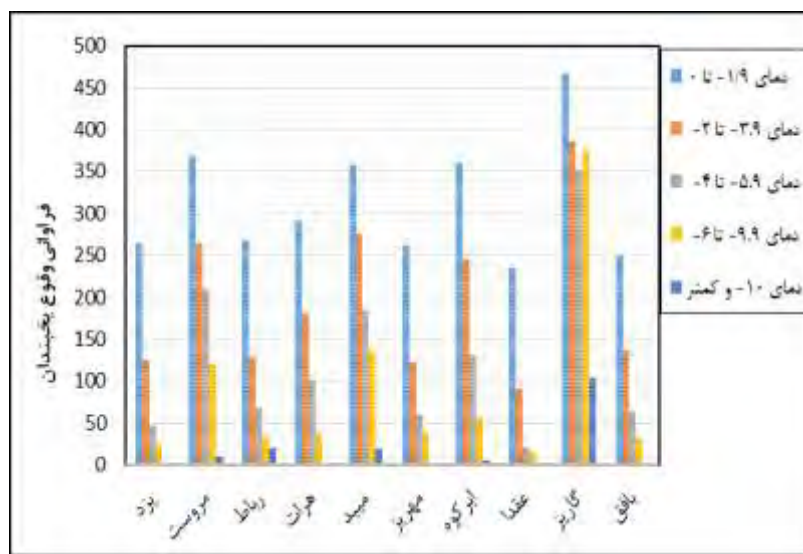
جدول (۳) تاریخ خاتمه یخبندان در احتمالات مختلف را بر اساس توزیع نرمال در ایستگاه‌های مختلف نشان می‌دهد. به عنوان مثال تاریخ خاتمه یخبندان در ایستگاه بافق با احتمال ۳۰ درصد، ۳ بهمن، با احتمال ۵۰ درصد، ۲۳ بهمن، با احتمال ۷۰ درصد، ۶ اسفند و با احتمال ۹۰ درصد، ۱۴ اسفند رخ می‌دهد. در ایستگاه گاریزات با احتمال ۳۰ درصد آخرین یخبندان در ۶ فروردین، با احتمال ۵۰ درصد، ۹ فروردین، با احتمال ۷۰ درصد ۱۱ فروردین و با احتمال ۹۰ درصد ۱۹ فروردین رخ می‌دهد.

جدول (۳): تاریخ خاتمه یخبندان در احتمالات مختلف در ایستگاه‌های مورد مطالعه

نام ایستگاه	احتمال پایان ۳۰ درصد	احتمال پایان ۵۰ درصد	احتمال پایان ۷۰ درصد	احتمال پایان ۹۰ درصد
یزد	۱۸ بهمن	۳۰ بهمن	۳ اسفند	۲۱ اسفند
مروست	۱۷ اسفند	۲۱ اسفند	۲۸ اسفند	۴ فروردین
رباط	۲۶ بهمن	۱۴ اسفند	۲۰ اسفند	۳ فروردین
هرات	۲۹ بهمن	۳ اسفند	۱۶ اسفند	۲۱ اسفند
میبد	۲ اسفند	۱۷ اسفند	۲۲ اسفند	۲ فروردین
مهریز	۱۸ بهمن	۳۰ بهمن	۱۲ اسفند	۲۱ اسفند
ابرکوه	۴ اسفند	۱۵ اسفند	۱۸ اسفند	۲۲ اسفند
عقدا	۱۷ بهمن	۲۴ بهمن	۵ اسفند	۲۹ اسفند

نتایج حاصل از بررسی فراوانی وقوع یخبندان در پنج آستانه دمایی (۱۳۹۷ - ۱۳۸۰) در سطح استان یزد

از بررسی شکل (۴) چنین برمی‌آید که ایستگاه گاریزات در تمام آستانه‌های دمایی دارای بیشترین یخبندان می‌باشد. کمترین میزان روز یخبندان مربوط ایستگاه‌های بافق، عقدا و مهریز در آستانه دمایی (کمتر از ۱۰) می‌باشد. جدول (۴) فراوانی وقوع یخبندان را در پنج آستانه دمایی در سطح استان یزد نشان می‌دهد.



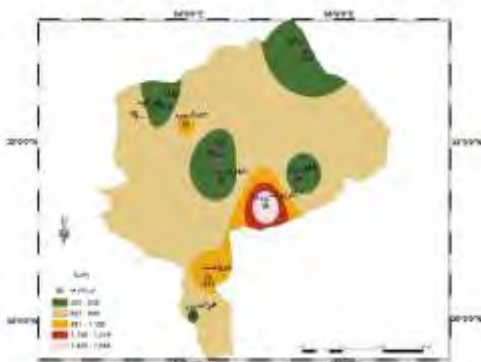
شکل (۴): نمودار فراوانی وقوع یخنیان در پنج آستانه دمایی ایستگاه‌های مختلف استان یزد

جدول (۴): فراوانی وقوع یخنیان در آستانه‌های دمایی پنج گانه

نام ایستگاه	-۰ تا ۱/۹	-۲ تا ۳/۹	-۴ تا ۵/۹	-۶ تا ۹/۹	-۱۰ درجه سانتیگراد و کمتر
یزد	۲۶۵	۱۲۶	۴۶	۲۳	۳
مرودشت	۳۶۸	۲۶۴	۲۰۹	۱۲۱	۱۰
رباط	۲۶۷	۱۲۸	۶۹	۳۴	۲۰
هرات	۲۹۲	۱۸۱	۱۰۱	۳۷	۱
میبد	۳۵۸	۲۷۵	۱۸۵	۱۳۶	۱۹
مهریز	۲۶۲	۱۲۲	۶۱	۳۸	۰
ابرکوه	۳۶۱	۲۴۵	۱۳۲	۵۷	۵
عقدا	۲۳۴	۹۱	۲۱	۱۵	۰
گاریز	۴۶۷	۲۸۵	۳۵۲	۳۷۶	۱۰۵
بافق	۲۴۹	۱۳۸	۶۴	۲۲	۰

توزیع مکانی تعداد روزهای یخنیان در آستانه صفر

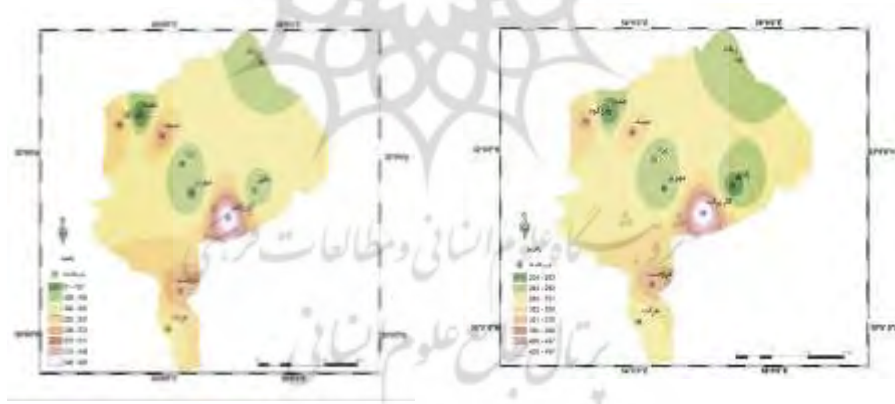
مطابق شکل (۵) نواحی جنوب شرقی شامل ایستگاه گاریزات دارای بیشترین روز یخنیان شامل ۱۶۸۵ روز و ایستگاه‌های بافق (۴۸۳ روز)، مهریز (۴۸۴ روز)، رباط پشت بادام (۵۱۸ روز)، یزد (۴۶۳ روز) و عقدا (۳۶۲ روز) دارای کمترین تعداد روزهای یخنیان در طی دوره آماری (۱۳۹۷-۱۳۸۰) می‌باشند.



شکل (۵): پهنه بندی فراوانی وقوع تعداد روزهای یخندان در استان یزد طی دوره آماری (۱۳۸۰-۱۳۹۷)

توزیع مکانی وقوع یخندان در آستانه‌های دمایی (۰-۱/۹) و (۰-۳/۹)

مطابق شکل (۶) نواحی جنوب شرقی در آستانه (۰ تا ۱/۹) دارای بیشترین تعداد یخندان و نواحی مرکزی و شمالی دارای کمترین تعداد یخندان می‌باشند؛ به این ترتیب ایستگاه گاریزات (۴۶۷ روز) بیشترین میزان یخندان و ایستگاه‌های بافق و عقداً کمترین میزان یخندان را در این آستانه به خود اختصاص داده‌اند. همچنین مطابق شکل (۷) در آستانه (۰-۳/۹ تا ۰-۲) نواحی جنوب شرقی و شمال غربی دارای بیشترین تعداد یخندان و نواحی شمالی و مرکزی دارای کمترین تعداد یخندان می‌باشند به این ترتیب ایستگاه‌های گاریزات، ابرکوه و میبد بیشترین میزان یخندان و ایستگاه‌های مهریز، یزد، بافق، رباط پشت بادام و عقداً کمترین میزان یخندان را در این آستانه به خود اختصاص داده‌اند.

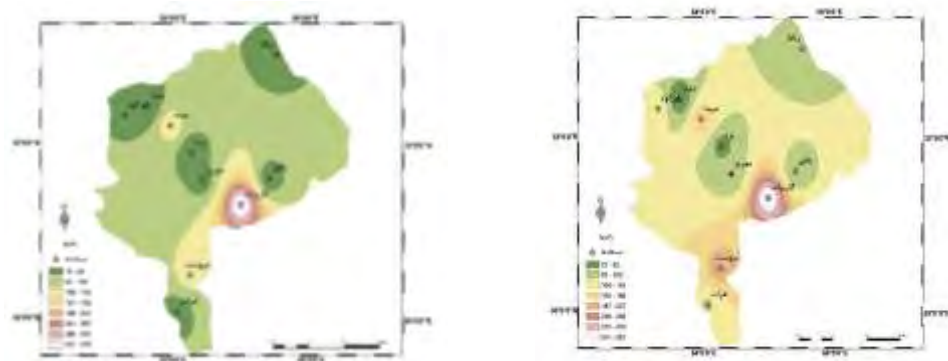


شکل (۷): فراوانی وقوع یخندان

شکل (۶): فراوانی وقوع یخندان

توزیع مکانی وقوع یخندان در آستانه‌های دمایی (۰-۹/۹)، (۰-۶-۴)، (۰-۵-۴) و (۰-۱۰-و کمتر)

مطابق شکل (۸) در آستانه (۰-۵/۹ تا ۰-۴) نواحی جنوب شرقی دارای بیشترین تعداد یخندان می‌باشد مثلاً ایستگاه گاریزات بیشترین میزان یخندان را در این آستانه دارند. ایستگاه‌های مهریز، یزد، بافق، رباط پشت بادام و عقداً دارای کمترین میزان یخندان می‌باشند. به این ترتیب ایستگاه‌های مرکزی و شمالی یزد دارای کمترین میزان یخندان می‌باشند. مطابق اشکال (۹) و (۱۰) در آستانه‌های (۰-۹/۹ تا ۰-۱۰-و کمتر) نواحی جنوب شرقی دارای بیشترین تعداد یخندان و بقیه ایستگاه‌ها دارای کمترین میزان یخندان می‌باشند به این ترتیب ایستگاه گاریزات بیشترین میزان یخندان را در این آستانه‌ها دارند و بقیه ایستگاه‌ها از حیث یخندان کمترین میزان یخندان را دارند.

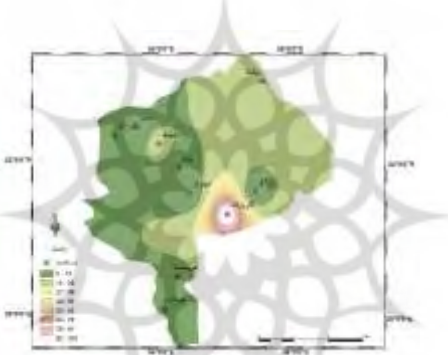


شکل (۹): فراوانی وقوع يخندان

در آستانه ۹-۶

شکل (۸): فراوانی وقوع يخندان

در آستانه ۵-۴



شکل (۱۰): فراوانی وقوع يخندان در آستانه ۱۰-۰ کمتر

نتیجه‌گیری:

با بررسی‌هایی که بین تاریخ آغاز و خاتمه يخندان با ارتفاع ایستگاه‌های انتخابی انجام گرفت، مشخص شد که بین ارتفاع و تاریخ وقوع يخندان زودرس پاییزه رابطه معنی داری وجود دارد. با افزایش ارتفاع، يخندان زودتر آغاز می‌شود. این موضوع نشان می‌دهد که در فصل پاییز يخندان‌های زودرس در مناطق کوهستانی زودتر از دشت‌ها رخ می‌دهد. نقشه آغاز يخندان نشان می‌دهد که در دشت‌های استان زمان رخداد اولین يخندان در حدود یک ماه دیرتر از مناطق مرتفع استان می‌باشد. در يخندان‌های دیررس بهاره، رابطه ارتفاع با خاتمه يخندان به صورت مستقیم می‌باشد و با افزایش ارتفاع تاریخ وقوع آخرین يخندان بهاره به تعویق می‌افتد. این موضوع نشان می‌دهد که در مناطق دشتی، يخندان دیرتر شروع می‌شود و زودتر هم خاتمه می‌باید، به عبارت دیگر فصل يخندان در این مناطق کوتاه و فصل رشد طولانی تر است. بر عکس در نواحی مرتفع، طول فصل يخندان افزایش و طول رشد کاهش می‌باید. این مساله از نظر کشاورزی قابل توجه می‌باشد. همچنین فراوانی وقوع يخندان در مناطق جنوب و جنوب شرقی بیشتر از مناطق شمالی و شمال شرقی است که با ارتفاع رابطه معنی داری دارد. نتایج تحلیل ها نشان داد که ایستگاه گاریزات در تمامی آستانه ها دارای بیشترین يخندان در دوره زمانی مورد مطالعه می‌باشد. کمترین میزان روز يخندان مربوط ایستگاه‌های بافق، عقدا و مهریز در آستانه دمایی (کمتر از ۱۰-۰) می‌باشد. توزیع مکانی فراوانی وقوع يخندان در آستانه‌های دمایی مختلف نیز نشان داد در مجموع مناطق جنوبی و جنوب شرقی استان دارای بیشترین فراوانی وقوع این پدیده می‌باشند و هرچه به سمت شمال استان حرکت می‌کنیم از فراوانی وقوع يخندان کاسته می‌شود.



منابع:

- اکبرپور، عباس، (۱۳۸۴)، بارش، ماهنامه تخصصی بازار کشاورزی ایران، ص ۱-۴۴.
- امیدوار، کمال؛ ابراهیمی، عاطفه، (۱۳۸۸)، پهنه‌بندی شد یخبندان در استان یزد، نشریه جغرافیا، دوره ۷، شماره ۲۰-۲۱، ص ۱۲۷-۱۱۳.
- آقا شریعتمداری، زهراء؛ بذرافشان، جواد؛ صفایی، الهه، (۱۳۹۵)، چشم انداز زمان و قوع یخبندان‌های زودرس پاییزه و دیررس بهاره تحت شرایط تغییر اقلیم با استفاده از SDSM در چند ایستگاه منتخب در نیمه غربی ایران، نشریه هواشناسی کشاورزی، جلد ۴، شماره ۱، ص ۲۲-۳۱.
- بداق جمالی، جواد؛ آسیابی فریمانی، مهدی؛ صمدی نقاب، سینا؛ جوانمرد، سهیلا، (۱۳۸۴)، مدیریت ریسک خشکسالی (شناخت و راهکارها)، تهران، انتشارات سخن گستر.
- پنجمعلی زاده، محمد، (۱۳۸۴)، تحلیل آماری و سینوپتیکی یخبندان‌های فراغیر شهر اردبیل، رساله ارشد، دانشگاه آزاد واحد اردبیل.
- حجازی زاده، زهراء؛ ناصرزاده، محمد حسین، (۱۳۸۶)، تجربه و تحلیل یخبندان در استان لرستان، نشریه علوم جغرافیایی، ج ۶ شماره ۸ و ۹، ص ۴۷-۳۱.
- حجازی زاده، زهراء؛ مقیمی، شوکت، (۱۳۸۱)، میکروکلیماتولوژی مقدماتی، جلد اول، انتشارات پیام نور، تهران.
- رضایی بنفشه درق، مجید؛ جهان بخش اصل، سعید؛ خورشید دوست، علی محمد؛ علی محمدی؛ مجید، (۱۳۹۸)، چشم انداز تغییرات زمانی و مکانی وقوع یخبندان‌ها و سرماهای زودرس پاییزه و دیررس بهاره در شمال شرق کشور، فصلنامه جغرافیای طبیعی، سال دوازدهم، شماره ۴۳، ص ۱-۱۴.
- زابل عباسی، فاطمه؛ احمدیان طبیی، محمد جواد؛ محمدنیا قرابی، سهراب، (۱۳۸۵)، بررسی و مقایسه شاخص‌های خشکسالی در مشهد، اداره کل هواشناسی خراسان رضوی، مشهد، ۵۷۱: ص ۱-۱۱.
- ضیایی، علیرضا؛ کامگار حقیقی، علی اکبر؛ سپاسخواه، علیرضا؛ رنجبر، سعید، (۱۳۸۵)، تعیین اطلس احتمال وقوع کمینه دمای استان فارس با استفاده از آمار هواشناسی، مجله علوم و فنون کشاورزی و منابع طبیعی، سال دهم، شماره سوم، ص ۲۷-۱۳.
- طلالی، محمد صادق، (۱۳۸۵)، تحلیل سینوپتیکی سرمای زودرس پاییزه و دیررس بهاره در استان یزد، فصلنامه جغرافیایی سرزمین، سال سوم، شماره ۱۲، ص ۹۵-۸۸.
- فلاح قالهری، غلامعباس؛ شاکری، فهیمه؛ نودهی، ام البنین، (۱۳۹۷)، پهنه‌بندی توزیع زمانی و مکانی آغاز، خاتمه و فراوانی وقوع یخبندان در استان خراسان رضوی، فصلنامه انسان و محیط زیست، شماره ۴۴، ص ۲۴-۱۳.
- لشکری، حسن؛ کیخسروی، قاسم، (۱۳۹۶)، روند تغییرات دمایی و پهنه‌بندی آغاز و پایان یخبندان شهر تهران، مجله مخاطرات محیط طبیعی، دوره ششم، شماره ۱۴، ص ۸۶-۶۳.
- مصطفی، غلامعلی، (۱۳۹۲)، بررسی روند آغاز و خاتمه آستانه‌های دمای صفر و پنج درجه سانتیگراد در ایستگاه‌های منتخب ایران، فصلنامه تحقیقات جغرافیایی، سال ۲۸، پیاپی ۱۰۹، ص ۱۱۲-۹۳.
- مولی نژاد، محمود، (۱۳۹۳)، مطالعه آماری ویژگی‌های یخبندان در ایستگاه سینوپتیک سقز، محیط شناسی، دوره ۴۰، شماره ۴، ص ۹۰۰-۸۹۱.
- میرمحمدی مبیدی، علی؛ ترکش اصفهانی، سعید، (۱۳۸۲)، مدیریت تنش‌های سرما و یخزدگی گیاهان زراعی و باغی، جهاد دانشگاهی، واحد صنعتی اصفهان.
- هزبزپور، قاسم؛ علیجانی، بهلول، (۱۳۸۶)، تحلیل هماید یخبندان‌های استان اردبیل، فصلنامه جغرافیا و توسعه، شماره ۱۰، ص ۱۰۶-۸۹.
- 0 Bordi, I., Frigid, S., Parenti, P., Speranza, A., Sutera, A., (2001). "The analysis of Standardized Precipitation Index in the Mediterranean area (part I)".
- 0 Dashkhuu.D, Jong PilKim, Jong Ahn Chun, Woo-Seop Lee. (2015). Long-term trends in daily temperature extremes over Mongolia, Weather and Climate Extremes, 8: 26–33

- 0 Frich, P. L. V. Aiexander, P. Della Marta, B. Gleason, M. Haylock, A., Klin Tank and T., Peterson, (2002), "Global changes in climatic extremes during the 2nd half of the 20th century", *climate, Res*,193-212.
- 0 Kajfez, B. I. (1989). "Carly Autumn Frost in Upper Carolina Slovenia. *Zbornik Biotehniske Univerze (Yugoslavia)"*. 53: 19-20.
- 0 -Kim, J.A. and Byun, H.R. (2016). "Spatiotemporal variability of the latest frosts in Korean Peninsula and causes of atmospheric circulation. *Meteorology and Atmospheric Physics"*. 128(5):.663-675.
- 0 Madelin, M., & Beltrando, G., (2005). "Spatial Interpolation – Based Mapping of the Spring Frost Hazard in the Champagne Vineyards", *Meteorological applications*, 12, pp. 51-56.
- 0 Tomczyk, A., Szyga-pluta, K., Bednorz, E., (2019). "Occurrence and synoptic background of strong and very strong frost in spring and autumn in Central Europe", *International Journal of Biometeorology*, 64 (4), DOI: 10.1007/s00484-019-01793-z
- 0 Zhao, C., Wang, W., and Xing, W. (2012), "Regional Analysis of Extreme Temperature Indices for the Haihe River Basin from 1960 to 2009". *International Conference on Modern Hydraulic Engineering*. 28: 604-607.
- 0 Vega, A. J; Robbins, K.D; & Grymes, J, M. (1994). "Frost/Freeze Analysis in the Southern Climate Region". *Southern Regional Climate Center*.
- 0 Vitasse, Y., Schneider, L., Rixen, C., Christen, D., & Rebetez, M. (2018). "Increase in the risk of exposure of forest and fruit trees to spring frosts at higher elevations in Switzerland over the last four decades". *Agricultural and Forest Meteorology*, 248: 60-69

